

На основе полученных экспериментальных данных и опытных данных, имеющихся в литературе по  $T_n$  для уран-графитовых систем, уточнено эмпирическое соотношение между температурой нейтронов  $T_n$  и температурой среды  $T_0$ :

$$T_n = T_0 \left( 1 + A \frac{\Sigma_a (kT_0)}{\Sigma_s} \right),$$

## Экспрессный метод восстановления спектров быстрых нейтронов ядернофизических установок при измерениях пороговыми детекторами

В. С. ТРОШИН, Е. А. КРАМЕР-АГЕЕВ

Широко применявшийся в последнее время для восстановления спектров нейтронов метод Диркса\* имеет недостатки. Наиболее существенный из них — ограниченное число детекторов, которые могут быть применены. В предлагаемом экспрессном методе восстановления в качестве исходных данных берутся значения интегральных потоков нейтронов  $\Phi(E_i)$ , определяемых с помощью эффективных сечений.

Рассматриваемый диапазон энергий разбивается на интервалы, внутри которых спектр представляется в виде экспоненты:

$$\Phi(E) = \Phi(E_{i+1}) e^{-\mu_i(E-E_{i+1})} \quad \text{для } E_i \leq E \leq E_i, \quad (1)$$

где  $\Phi(E_{i+1})$  — значение спектра нейтронов на верхней границе интервала, а  $\mu_i$  — постоянная.

Обработка начинается с последнего интервала. По двум известным значениям интегрального потока на этом интервале  $\Phi(E_n)$  и  $\Phi(E_{n+1})$  определяется значение спектра на границе интервала;

$$\Phi(E_n) = \frac{\Phi(E_n)}{E_{n+1}-E_n} \ln \frac{\Phi(E_n)}{\Phi(E_{n+1})}. \quad (2)$$

Отношение значений спектров на границах  $i$ -го интервала связано со значением спектра на верхней границе интервала и разностью интегральных потоков зависимостью

$$\frac{\Phi(E_i)}{\Phi(E_{i+1})} - 1 = \frac{1}{\ln \frac{\Phi(E_i)}{\Phi(E_{i+1})}} \frac{\Phi(E_i) - \Phi(E_{i+1})}{E_{i+1} - E_i}. \quad (3)$$

Значение  $\frac{\Phi(E_i)}{\Phi(E_{i+1})}$  может быть получено из номограммы, приведенной на рисунке.

В зависимости от набора детекторов можно использовать как произвольное разбиение на интервалы, так и разбиение, границы которого соответствуют эффективным порогам реакций. Оценки работоспособности

где  $A = 16,5$ . Расчетное значение  $A$  по работе [2] для уран-графитовых систем составляет 11.

(№ 403/5549). Статья поступила в Редакцию 20/VIII 1969 г., аннотация — 2/II 1970 г. Полный текст 0,4 а. л., 3 табл., 11 библиографических ссылок.)

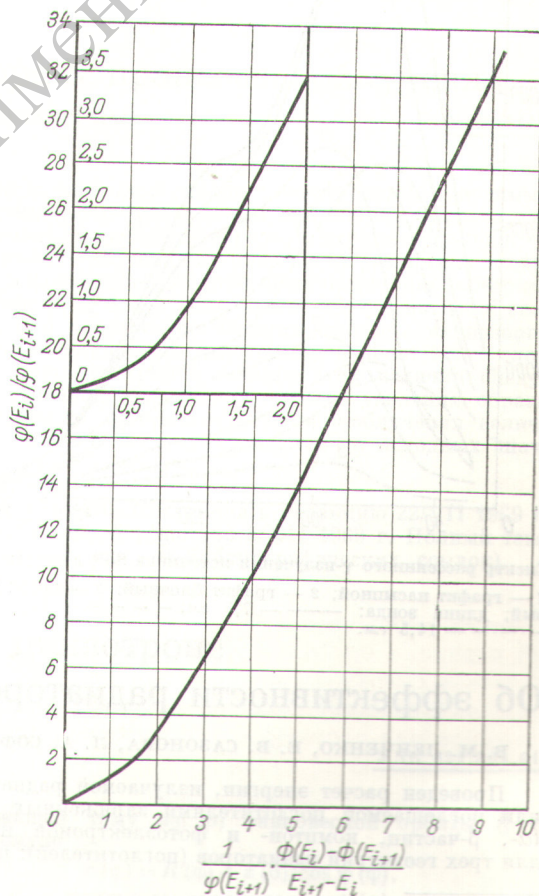
### ЛИТЕРАТУРА

1. C. Westcott, AECL-1101 (1960).
2. R. Coveyou et al. J. Nucl. Energy, 2, 153 (1956).

УДК 539.1.074.8

метода при восстановлении спектров различного вида показали, что:

1) наименьшая ширина интервала, при которой ошибка за счет неточности вычислений и графического



Номограмма для определения значений спектра на границах интервалов.

\* R. Dierckx. Neutron Dosimetry, V I. Vienna, IAEA, 1963, p. 325.

определения интегральных потоков составляет не более 7%, должна быть не менее 1 Мэв;

2) относительная ошибка восстановленных данных увеличивается не более чем в 2–3 раза по отношению к ошибке в исходных данных;

3) наименьшее уклонение восстановленных данных наблюдается в середине интервалов. Ошибка в этих

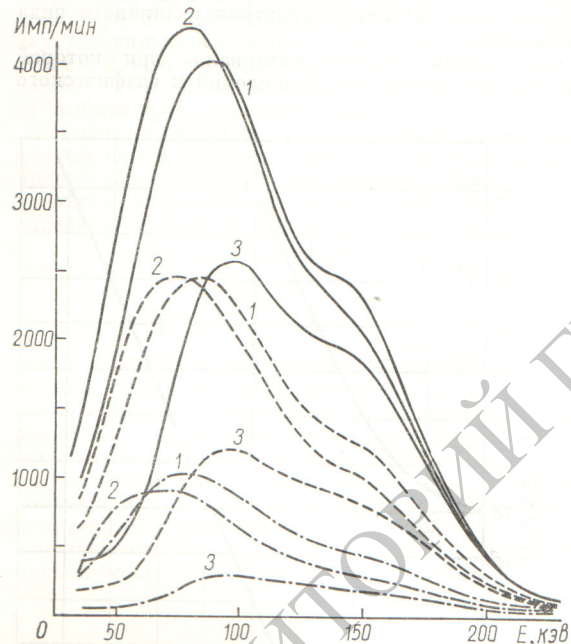
точках не превышает 10–15% при неточности исходных данных 10%.

(№ 404/5714. Поступила в Редакцию 13/I 1970 г. Полный текст 0,4 а. л., 4 рис., 1 табл., 9 библиографических ссылок).

## Спектр рассеянного $\gamma$ -излучения на малых расстояниях от источника

В. И. Уткин

В приближении непрерывных потерь получено \* соотношение, определяющее значение энергии, соответствующей максимуму спектра многократно рассеянного  $\gamma$ -излучения в состоянии условного равновесия



Спектр рассеянного  $\gamma$ -излучения источника  $\text{Se}^{75}$  в средах:

1 — графит насыпной; 2 — графит блочный; 3 — песок кварцевый; длина зонда: — 7,5 см; - - - 10,5 см; - - - - 14,5 см.

## Об эффективности радиаторов и поглотителей заряженных частиц

В. М. ЛЕНЧЕНКО, Е. В. САЗОНОВА, Л. А. СОФИЕНКО

Проведен расчет энергии, излучаемой радиаторами или поглощаемой поглотителями заряженных частиц ( $\alpha$ ,  $\beta$ -частиц, комптон- и фотоэлектронов и т. д.) для трех геометрий радиаторов (поглотителей): цилинд-

\* В. С. Анастасевич. «Атомная энергия», 10, 389 (1961).

весия (критическая энергия):  $\mu_{Ph}(\varepsilon) = \frac{d}{d\varepsilon} [\mu_e(\varepsilon) \Delta\varepsilon]$ ,

где  $\mu_{Ph}(\varepsilon)$  — коэффициент фотопоглощения;  $\mu_e(\varepsilon)$  — коэффициент комптонаевского взаимодействия;  $\Delta\varepsilon$  — средняя энергия, теряемая  $\gamma$ -квантом при однократном столкновении с электроном. Полученные данные хорошо согласуются с результатами точных численных расчетов и экспериментов.

Для различных источников ( $\text{Tu}^{170}$ ,  $\text{Se}^{75}$ ,  $\text{Cs}^{137}$ ) и рассеивающих сред (графит, вода, песок, алюминий) экспериментально показано, что в случае, когда состояние условного равновесия не достигнуто, энергия, соответствующая максимуму спектра, больше критической. Определено, на каком расстоянии от источника (длине зонда) достигается состояние условного равновесия для рассеянных  $\gamma$ -квантов.

Для указанных выше источников и рассеивающих сред наблюдалось явление инверсии (независимость величины интегральной интенсивности от плотности), которое возникает в том случае, когда состояние условного равновесия не достигнуто и изменения спектральных интенсивностей в «мягкой» и «жесткой» частях спектра равны (см. рисунок). Величина зонда инверсии зависит от спектральной чувствительности детектора: при измерении только жесткой компоненты величина зонда инверсии уменьшается и при дальнейшем увеличении энергии регистрируемых  $\gamma$ -квантов явление инверсии вообще не может быть достигнуто; при измерении только мягкой компоненты величина зонда инверсии совпадает с расстоянием, на котором устанавливается состояние условного равновесия.

(№ 405/5653. Статья поступила в Редакцию 20/XI 1969 г., аннотация — 20/I 1970 г. Полный текст 0,35 а. л., 3 рис., 2 табл., 4 библиографические ссылки).

поглотителей заряженных частиц

УДК 539.2:539.16.04

тических (нитевидных), пленочных и шариковых. Энергия представлена в виде

$$Q = V \int N(\varepsilon) K(\varepsilon, Z) \varepsilon d\varepsilon. \quad (1)$$

Здесь  $V$  — объем радиатора (поглотителя);  $N(\varepsilon) d\varepsilon$  — число заряженных частиц, созданных в единице объема радиатора (для поглотителя — в единице объема внеш-